

〔苏联〕 И. М. 薩多夫斯基著

# 感应电动机的协调旋转

科学技術出版社

## 內容提要

在本書中研討了感應電動機的協調旋轉線路(或者稱做“電軸”線路)的理論和特性曲線的計算，研討了在各種結構情況下帶有兩台電機和帶有數台電機的裝置的運轉，特別注意了這類裝置的穩定性問題。

本書可供高等學校學生和電機工程技術人員閱讀及參考

## 感應電動機的協調旋轉 (電 軸)

СОГЛАСОВАННОЕ ВРАЩЕНИЕ

АСИНХРОННЫХ ДВИГАТЕЛЕЙ

原著者 [苏联] И. М. Садовский

原出版者 Госэнергоиздат. 1948年版

譯 者 馬 成 业

校 者 李 华 天

\*

科学技術出版社出版

(上海建國西路336弄1号)

上海市書刊出版營業許可證出〇七九號

上海新华印刷厂印刷 新华书店上海發行所總經售

\*

統一書號: 15119·397

开本 787×1092 索 1/32 · 印張 4.9/16 · 字数 99,000

一九五七年一月第一版

一九五七年一月第一次印刷 印数 1—7,000

定价: (10) 八 角

## 原序

在本書中研討了又被叫做“電軸”的感应电动机的協調旋轉  
線路图。这样的線路图应用在各种工业部門中，以保証多电动  
机电力拖动裝置里的一些独立机組的联合运轉。

本書的产生是作者在全苏电工研究所对協調運轉問題进行  
研究的結果。作者关于这一問題的学位論文的原稿便作为本書  
的基础，并縮減和改写成适合于印刷条件的形式。

本書的主要內容是，帶有感应电机的电軸裝置中所发生  
的过程的理論研究。在闡述这些問題时特別注意到要获得用簡單  
的和便于实际运用的形式表示出来的特性曲綫、計算公式和圖  
表。研討了協調旋轉裝置的静态稳定性和动态稳定性，以及它  
在異常条件下的运轉。

为了縮減篇幅起見，在本書中沒有列出研究电軸的参考文  
献来源的一覽表。当提及別的研究时，在学位論文的原文中給  
出参考文献来源的索引，其余的著作則在本書的末尾表明为参  
考文献目录的形式。此外为了使叙述更加簡明扼要起見，把一  
部分材料，主要是数学結論移到附录中去。

作 者

## 目 录

原 序	
緒 論	I
第一章 “电軸”的一般綫路图	3
第二章 帶有兩台电机的电軸裝置	17
第三章 电軸綫路的稳定性	37
第四章 帶有兩台平衡电机的綫路	57
第五章 电軸裝置的異常状态	74
第六章 單相联結	83
第七章 確定帶有平衡电机的綫路的工作状态	97
第八章 確定在轉子电路內帶有共用变阻器的綫路 的工作状态	109
結 論	124
附 彙	130
所用参考文献的索引	138

## 緒論

在許多場合下，電力拖動裝置都需要使得兩台或者兩台以上的帶有不同負載的電動機以同樣的（或成比例的）速度旋轉或者轉動同樣的（或成比例的）角度，而在它們中間却不用任何機械傳動裝置來聯繫；這些電動機拖動着拖動裝置的各個獨立部分，并且有時它們彼此之間還相隔得很遠。這樣的裝置在現代越來越廣泛地推廣了。

對於不同的電力拖動裝置來說，這時向電動機的轉速或轉角相互對應的精確度所提出的要求也是不一樣的，因此就採用不同的方法來保證這種對應性。如果祇是要求轉速近似地相等，那麼有時候根本不需要採用任何的特殊線路。例如，在採用鼠籠式感應電動機的軌道機車道的多電動機拖動裝置中，改變供電網絡的頻率就可以改變所有電動機的速度，并且甚至在不同的負載下，這些速度彼此之間也仅仅只有很小的差別（相當于各個電動機滑牽的差別），根據這個拖動裝置的條件來說，這樣的差別是容許的。

但是也有大批工業用的拖動裝置對它們的電動機聯合運轉的精確度提出更嚴格的要求。在這些拖動裝置中除了轉速相等之外也還要求各拖動軸的轉角相等，這時在各軸之間只容許有不大的失調角，這個失調角與同步電動機在各種不同負載下其轉子之間的角度相類似。屬於這一類拖動裝置的，有提升式橋梁、閘門的閘板、某些旋轉式印刷機、傳送帶、門型吊車、感應式

調節器和各種工業部門中的許多其它設備的多電動機拖動裝置。這樣的拖動裝置叫做具有“協調”旋轉或者“同步”旋轉的電動機的拖動裝置；又因為在各電動機之間的電氣聯繫與利用機械軸的聯繫相類似，所以也叫做“帶有電軸的拖動裝置”。

在類似前述的工業用拖動裝置中，推行最廣的協調旋轉線路圖是應用感應電機的線路圖；感應電機比其它型式的電機更為簡單可靠。在圖1中以一般形式示出這類線路圖的某些方案。同類似這樣的感應電動機協調旋轉線路圖的運轉和計算相聯繫

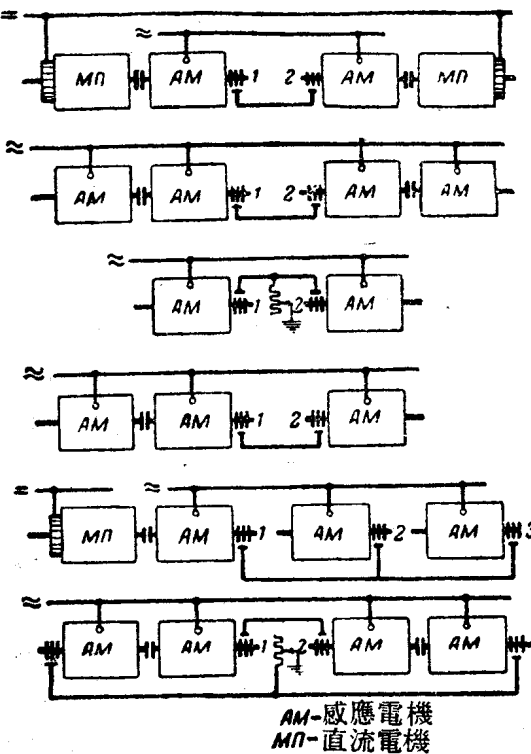


图 1

的問題也正是本書的主要內容.

拖动裝置在許多場合下向協調旋轉裝置提出的要求还要更加严格. 例如, 有时候要求在協調旋轉的某一根軸上只有很小的轉矩值, 这根軸被当做其余各軸的“主軸”; 或者是要求協調旋轉裝置的軸能够在  $360^\circ$  轉角範圍內的任一位置上都具有自整步的性能, 而这种性能在普通的由电动机到該軸是减速的机械傳动機構的情况下, 就归結为需要电动机轉子的轉角在超过  $360^\circ$  數倍的範圍內, 还具有自整步的性能, 以及諸如此类的要求. 在类似这样的場合下, 感应电动机的協調旋轉线路图已經不能滿足所提出的要求了, 而必須把裝置复杂化和应用所謂“隨動拖动裝置”的线路图, 在这类线路里包含有各种放大的设备. 类似于这样的“隨動”线路的特征是在裝置的工作軸与其控制部分之間具有一般所說的“反饋”, 这类线路的研究是一般調整理論的任务, 而在本書中并不加以討論.

## 第一章 “电軸”的一般线路图

电軸裝置可以依据拖动裝置的条件, 按照不同的线路和由不同数量的、参与线路的电动机来構成.

我們來研究表示在图 2 中的由任意数目  $n$  个繞綫式感应电动机  $\Delta_1, \Delta_2, \dots, \Delta_n$  組成的电軸线路图. 在一般情况下, 这些电动机軸上的負載是变化的而且彼此不同. 所有参与线路的  $n$  台电动机轉子都联結在共同的外部电阻上, 这个电阻在裝置的全部工作時間內都不切除. 因此不論各电动机的負載相同与否, 所有轉子滑环上的电压由于它們联結在一起的緣故, 而彼此都被强制地相等了. 这就好象是負載大的电动机(其轉子电流大)的

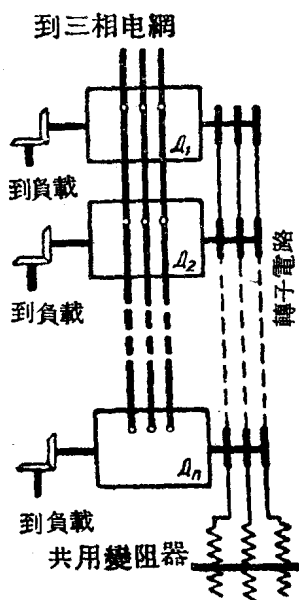


图 2

抗;

 $r'_2, x'_2$ —转子的电阻和漏抗; $x_0$ —有效磁通的电抗; $R'$ —外加的副级电阻;

s—滑率(所有的阻抗和电流都是每相值, 并且已經折算到定子侧了).

图 2 的装置的等值电路图在这些符号下具有如图 3 所示的形式. 于等值电路图中应当考虑到, 在不同的负载下各电动

转子电阻减小而负载小的电动机的转子电阻增大一样, 于是就迫使所有的电动机都以相同的速度运转. 在以后将指出, 图 2 的线路图乃是所研讨的带有感应电机的电轴线路的一种普遍情况.

为了求得电动机原级电路和副级电路的电流起见, 茲列出电轴装置的等值电路图. 采用的标注符号是:

 $U$ —网络电压;

$I_k$  和  $i'_k$ \*—第  $k$  台电动机的定子电流和转子电流  
( $k = 1, 2, 3 \dots n$ );

 $r_1, x_1$ —定子的电阻和漏

\* 对于转子电流的实效值选用符号  $i'$ , 以便使得所有的公式不致因为有过多的下标而繁杂起来.

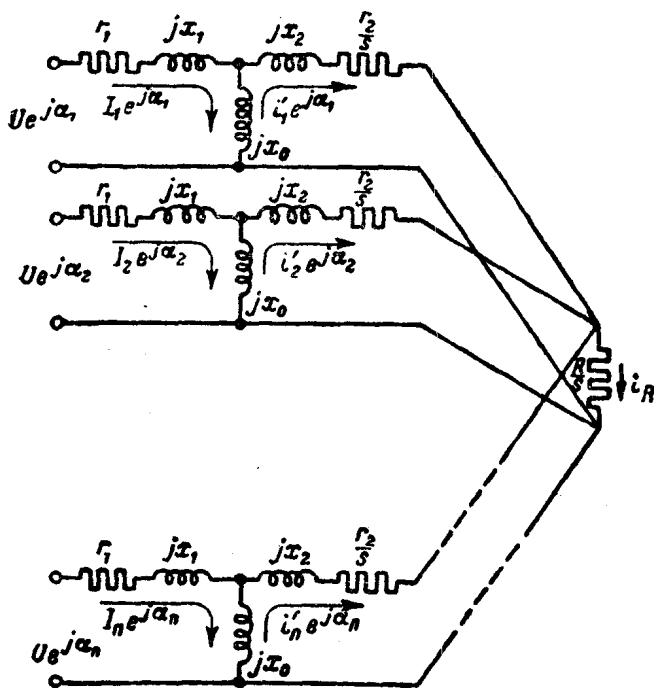


图 3

机的轉子以彼此相差某一个依赖于負載的失調角来旋轉.为此，加在电动机定子繞組上的网络电压  $\dot{U}$  应該乘以  $e^{j\alpha_k}$ , 其中  $\alpha_k$ —第  $k$  台电机轉子对于与电軸裝置电动机協調旋轉的某个假想軸的失調角, 用电气弧度来表示, 而  $j = \sqrt{-1}$ . 这样的記載方法对于使公式具有最大的对称性質來說是必要的. 我們也可以研討所有电动机轉子, 譬如說, 对于第一台电动机轉子的失調角(为此使  $\alpha_1=0$  就足够了). 但是在这种情况下, 这个第一台电动机的公式同其它电动机的公式的形式便不一样了, 因而也是不合适的. 在列等值电路图时, 拿相应电机的定子繞組端电压的

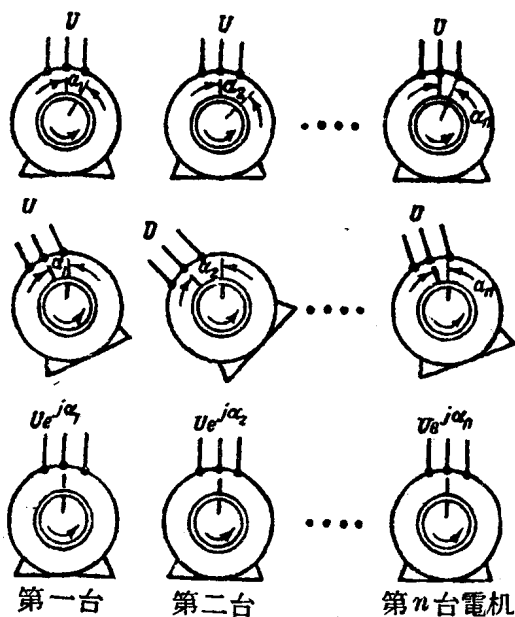


图 4

相角差，来代替轉子角差而引用的代換的物理意义，闡明在图 4 上。在該图的上部給出  $n$  台电机，它們的轉子对于与其协调旋转的假想軸的失調角是  $\alpha_1, \alpha_2, \dots, \alpha_n$ 。在图 4 上表明的瞬間是相当于假想軸与电机的对称垂直軸相符合的情况。如果把这些电机的定子分別向相反的方向轉動  $\alpha_1, \alpha_2, \dots, \alpha_n$  的角度，那么在線路中电的方面沒有任何的改变，所有的轉矩和电流都仍然保持原先的数值。但是这时如同图 4 中間所表示的那样，电机的轉子之間已經不再有相角差了。每台电机定子的空間移相角也可以用与之等效的电机旋转磁场的同样的移相角来代替（也就是把外加电压的相角改变这样一个角度），就象图 4 下邊所表示的那样。图 4 中的电机假定为两极机。对于两极机來說，其电

气角度与机械角度在量上是一致的；但是显然可见，对于多极电机来说，全部结论也都仍然是有效的。

第  $k$  台电动机所有电流的相位角都是对于加在其定子绕组上的端电压来讨论的。因此在给该电压乘以  $e^{j\alpha_k}$  的同时，也应当用同样的乘数去乘电动机的所有电流（参看图 3 的线路）。

如果用

$$z_1 = r_1 + j(x_0 + x_1),$$

$$z_2 = r'_2/s + j(x_0 + x'_2)$$

表示电机在滑率为  $s$  时的原级全阻抗和副级全阻抗，那么第  $k$  台电机的定子电路和转子电路的电压方程式就具有如下形式（电流的方向根据图 3 所采用的方向）：

$$\dot{U} = \dot{I}_k z_1 - i'_{k'} j x_0, \quad (1)$$

$$(\dot{I}_k j x_0 - i'_{k'} z_2) e^{j\alpha_k} = \frac{R'}{S} \sum_{k=1}^n i'_{k'} e^{j\alpha_k}. \quad (2)$$

表明这些方程式的向量图示于图 5 上。以后为了简化书写起见，将在各处省略点在字母上面表示复数量的点以及标志折算到定子侧的符号'。

方程式(1)和(2)当  $k = 1, 2, 3, \dots, n$  时便代表带有  $2n$  个未知电流  $I_1, I_2, \dots, I_n, i_1, i_2, \dots, i_n$  的  $2n$  个方程式组，其中  $n$  为任意整数。这样方程式组的解的普遍形式，也就是预先并不知道  $n$  值，只是可以用人工技巧的方法来获得。兹导出这一解如下。

由方程式(1)求出  $I_k$  值并且将其代入方程式(2)，则得

$$U j x_0 e^{j\alpha_k} - (x_0^2 + z_1 z_2) i_k e^{j\alpha_k} = \frac{R'}{S} z_1 \sum_{k=1}^n i_k e^{j\alpha_k}. \quad (3)$$

给出下标值  $k$  等于  $1, 2, 3, \dots, n$  并且把这时得到的诸等

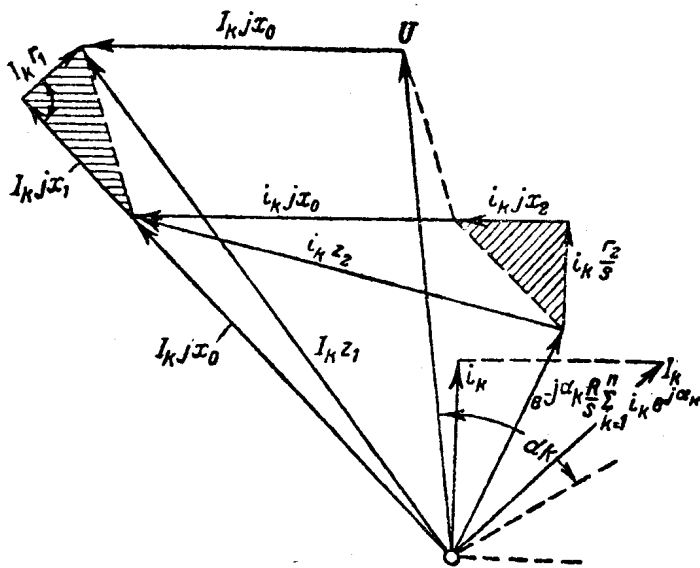


图 5

式相加, 则求出

$$\begin{aligned}
 & U j x_0 \sum_{k=1}^n e^{j\alpha_k} - (x_0^2 + z_1 z_2) \sum_{k=1}^n i_k e^{j\alpha_k} = \\
 & = \frac{R}{s} z_1 n \sum_{k=1}^n i_k e^{j\alpha_k}, \quad (4)
 \end{aligned}$$

于是

$$\sum_{k=1}^n i_k e^{j\alpha_k} = \frac{U j x_0 \sum_{k=1}^n e^{j\alpha_k}}{x_0^2 + z_1 \left( z_2 + n \frac{R}{s} \right)}$$

把这一和的值代入等式(3), 然后对  $i_k$  解所得到的方程式,

則得

$$i_k = \frac{jx_0 \left\{ x_0^2 + z_1 \left[ z_2 + \frac{R}{s} \left( n - \sum_{l=1}^n e^{j(\alpha_l - \alpha_k)} \right) \right] \right\}}{\left[ x_0^2 + z_1 \left( z_2 + n \frac{R}{s} \right) \right] (x_0^2 + z_1 z_2)} U. \quad (5)$$

其次根据方程式(1)

$$I_k = \frac{U}{z_1} + \frac{jx_0}{z_1} i_k. \quad (6)$$

把(5)式中的  $i_k$  代入这一等式, 則得

$$I_k = \frac{x_0^2 \left[ z_2 + \frac{R}{s} \sum_{l=1}^n e^{j(\alpha_l - \alpha_k)} \right] + z_1 z_2 \left( z_2 + n \frac{R}{s} \right)}{\left[ x_0^2 + z_1 \left( z_2 + n \frac{R}{s} \right) \right] (x_0^2 + z_1 z_2)} U. \quad (7)$$

在公式(5)中改变了对之取和的下标(用字母  $l$  代替字母  $k$ ). 这一点是必要的, 因为当得到这个和时, 需要进行如下形式的变换

$$\frac{1}{e^{j\alpha_k}} \sum_{k=1}^n e^{j\alpha_k} = e^{-j\alpha_k} \sum_{k=1}^n e^{j\alpha_k} = \sum_{k=1}^n e^{j(\alpha_k - \alpha_k)}.$$

不这样改变下标, 求和是不可能的.

在线路的公用变阻器中流过的电流  $i_R = \sum_{k=1}^n i_k e^{j\alpha_k}$ , 根据(5)

式求出为如下形式:

$$i_R = \frac{U j x_0 \sum_{l=1}^n e^{j\alpha_l}}{x_0^2 + z_1 \left( z_2 + n \frac{R}{s} \right)}. \quad (8)$$

有时, 用一台电机在普通运转情况下作为感应电动机使用时的电流, 来表示电轴线路中的电流是方便的. 在我们所用符号的情况下, 当滑率为  $s$  时普通运转的感应电动机的转子电

## 流

$$i = \frac{jx_0 U}{x_0^2 + z_1 z_2}. \quad (9)$$

(参看本文末尾的附录 1, 其中给出用本文中符号的主要公式的基本推导。)

如果电动机不是短接在一起, 而是接在外部电阻  $nR$  上的话, 那么显然可见它的电流

$$i_0 = \frac{jx_0 U}{x_0^2 + z_1 \left( z_2 + n \frac{R}{s} \right)}. \quad (10)$$

把由等式(5)所决定的电流  $i_k$  表示为如下形式:

$$i_k = C_1 i + C_2 i_0, \quad (11)$$

式中  $C_1$  和  $C_2$ ——某些系数。为了求出这些系数的值, 把(9)式和(10)式的  $i$  和  $i_0$  的值以及等式(5)的  $i_k$  值代入(11)式中。在消去共同的因子以后则得:

$$\begin{aligned} x_0^2 + z_1 z_2 + z_1 \frac{R}{s} \left( n - \sum_{l=1}^n e^{j(\alpha_l - \alpha_k)} \right) &= \\ = C_1 n \frac{R}{s} z_1 + (C_1 + C_2)(x_0^2 + z_1 z_2). \end{aligned}$$

因为这一等式在任意  $R$  值下都同样地应当满足, 所以带  $R$  的各项与不带  $R$  的各项都应当分别地相等, 于是可以得出如下结论:

$$C_1 = 1 - C_2$$

和

$$C_2 = \frac{1}{n} \sum_{l=1}^n e^{j(\alpha_l - \alpha_k)}.$$

把这些值代入(11)式以后, 则最终得到

$$i_k = i - \frac{i - i_0}{n} \sum_{l=1}^n e^{j(\alpha_l - \alpha_k)}, \quad (12)$$

导出空载电流  $I_0 = \frac{U}{z_1}$  以后, 则由等式(6)可以求出原级电

流

$$I_k = I_0 + \frac{jx_0}{z_1} i_k. \quad (13)$$

最后对于变阻器中的电流  $i_R$  则有[参看公式(8)]:

$$i_R = i_0 \sum_{l=1}^n e^{j\alpha_l}. \quad (14)$$

如果在定子阻抗  $z_1 = r_1 + j(x_0 + x_1)$  中与  $x_0 + x_1$  之和相比而略去电阻  $r_1$  值并且认为  $z_1 \approx j(x_0 + x_1) = jx_0\sigma_1$  的话, 其中  $\sigma_1 = \frac{x_0 + x_1}{x_0}$  ——高普金松(Гопкинсон)的原级漏洩系数, 那么各个电流的关系式便可以大大地简化. 但是在等式(5), (7), (8)等诸式中为了达到这样的简化目的, 简单地进行  $z_1 = jx_0\sigma_1$  的代换是不行的. 实质上在这些关系式里碰到如下形式的和:

$$\begin{aligned} x_0^2 + z_1 z_2 &= z_1 (z_2 - jx_0) + jx_0 (z_1 - jx_0) = [r_1 + j(x_0 + x_1)] \times \\ &\quad \left( \frac{r_2}{s} + jx_2 \right) + jx_0 (r_1 + jx_1), \end{aligned}$$

在只是同  $x_0 + x_1$  之和比较才能忽略式中的  $r_1$  的情况下, 等式右边的第二项里的阻抗  $r_1 + jx_1$  里还应当保留这个  $r_1$  值. 考虑到这种情况, 并且用  $z = r_1 + jx_1 + \sigma_1 \left( \frac{r_2}{s} + jx_2 \right)$  或者  $z = r_1 + \frac{r_2}{s} \sigma_1 + jx$  来表示, 其中  $x = x_1 + x_2\sigma_1$ , 所以有  $x_0^2 + z_1 z_2 \approx jx_0 z$  等等,

因此由式(5), (13)和(8)就得到

$$i_h = \frac{z + \frac{R\sigma_1}{s} \left( n - \sum_{l=1}^n e^{j(\alpha_l - \alpha_h)} \right)}{z(z + n \frac{R\sigma_1}{s})} U,$$

$$I_h = I_0 + \frac{1}{\sigma_1} i_h, \quad \text{式中 } I_0 = \frac{U}{jx_0\sigma_1}, \quad (15)$$

$$i_R = \frac{\sum_{l=1}^n e^{j\alpha_l}}{z + n \frac{R\sigma_1}{s}} U.$$

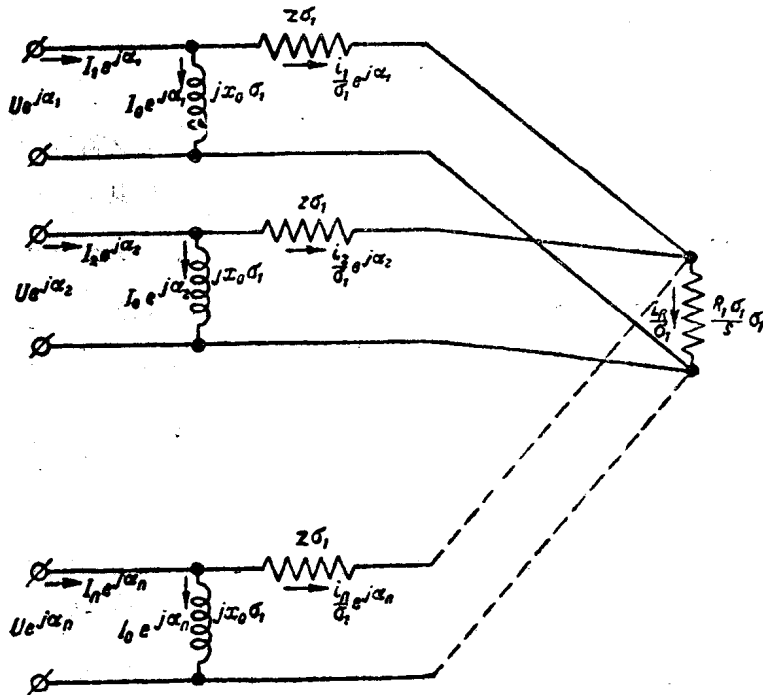


图 6

实际上这样的关系式对于全部的計算說来也是足够的了。等式(15)所表示的等值电路图示于图 6\*上。

电动机所产生的轉矩特性曲綫是分析电軸线路运转的主要关系式。如果在計算轉矩时也做出一般的假定  $r_1=0$ , 那么第  $k$  台电动机的轉矩用同步瓦表示的普遍公式(每相值)便是

$$M_k = \frac{I_k + I'_k}{2} U, \quad (16)$$

式中  $I'_k$ ——与  $I_k$  共轭的复数。把由(15)式得出的  $I_k$  值代入并且考慮到  $I_0 + I'_0 = 0$ , 于是得

$$M_k = \frac{U}{2\sigma_1} (i_k + i'_k). \quad (17)$$

其次再把电流  $i_k$  表示成如下形式[參看(15)式中的第一个等式]：

$$\begin{aligned} i_k &= \frac{z + n \frac{R\sigma_1}{s} - \frac{1}{n} \left[ \left( z + n \frac{R\sigma_1}{s} \right) - z \right] \sum_{l=1}^n e^{j(\alpha_l - \alpha_k)}}{z \left( z + n \frac{R\sigma_1}{s} \right)} U = \\ &= \frac{U}{n} \left[ \frac{n - \sum_{l=1}^n e^{j(\alpha_l - \alpha_k)}}{z} + \frac{\sum_{l=1}^n e^{j(\alpha_l - \alpha_k)}}{z + n \frac{R\sigma_1}{s}} \right], \end{aligned}$$

將这一  $i_k$  值及其共轭值

$$i'_k = \frac{U}{n} \left[ \frac{n - \sum_{l=1}^n e^{-j(\alpha_l - \alpha_k)}}{z'} + \frac{\sum_{l=1}^n e^{-j(\alpha_l - \alpha_k)}}{z' + n \frac{R\sigma_1}{s}} \right]$$

\* 关于等值电路变成类似現在的形式的問題, 請參看 M. П. Костенко 教授的論文: Круговая диаграмма и соответствующая ей эквивалентная схема асинхронной машины, "Вестник электротехники", 1930年第4期。